

# Моделирование волн в упругих средах

Иван Львович Софронов

Д.ф.-м.н., в.н.с., Schlumberger Moscow Research

Лекции и семинары (практические занятия с компьютером)

7-й семестр – дифференцированный зачет

8-й семестр – экзамен

# Темы годового курса

1. Гиперболические задачи для линейных волновых процессов
2. Численные методы решения задач сейсмического моделирования, система 2-го порядка
3. Неотражающие граничные условия
4. Численные методы решения задач сейсмического моделирования, система 1-го порядка
5. Общие численные подходы для систем 1-го и 2-го порядков

# Тема 3: Неотражающие граничные условия

## Внешние начально-краевые задачи:

1. Проблема неотражающих граничных условий
2. Подходы построения неотражающих граничных условий
3. Прозрачные граничные условия (ПГУ)
4. Примеры задач с ПГУ
5. Квазианалитические прозрачные граничные условия для уравнений упругости
6. Численная реализация ПГУ. **Практикум по ПГУ для 1D уравнения Клейна-Гордона**
7. Усеченные прозрачные граничные условия

## ЗАДАНИЕ 6. Прозрачное граничное условие для одномерного уравнения Клейна-Гордона

Рассмотрим одномерное уравнение Клейна-Гордона

$$\frac{1}{c^2} \frac{\partial^2 u}{\partial t^2} - \frac{\partial^2 u}{\partial x^2} + \lambda^2 u = 0, \quad \lambda = 0, 1, 2, \dots$$

Оно возникает, например, из двумерного ВУ

$$\frac{1}{c^2} \frac{\partial^2 w}{\partial t^2} - \frac{\partial^2 w}{\partial x^2} - \frac{\partial^2 w}{\partial y^2} = 0$$

если применить дискретное преобразование Фурье по  $y$

$$w(t, x, y) = \sum_{\lambda} u_{\lambda}(t, x) e^{i\lambda y}$$

и рассмотреть по отдельности уравнения для каждого коэффициента

$$u \equiv u_{\lambda}(t, x)$$

# ПГУ для одномерного уравнения Клейна-Гордона

Возьмем отрезок  $X_{\min} \leq x \leq X_{\max}$  и сформулируем следующие начально-краевые задачи для  $u$  :

$$\left\{ \begin{array}{l} \frac{1}{c^2} \frac{\partial^2 u}{\partial t^2} - \frac{\partial^2 u}{\partial x^2} + \lambda^2 u = 0, \quad t > 0 \\ u|_{t=+0} = v_0(x) \\ \frac{\partial u}{\partial t}|_{t=+0} = v_1(x) \\ u|_{x=X_{\min}} = 0, \quad t > 0 \\ \mathbf{T}u|_{x=X_{\max}} = 0, \quad t > 0 \end{array} \right.$$

где значение  $\lambda = 0, 1, 2, \dots$

# ПГУ для одномерного уравнения Клейна-Гордона

Начальные возмущения  $v_0(x)$ ,  $v_1(x)$  задаются формулой

$$v(x) = \begin{cases} \exp\left(\frac{-4(2x - (a + b))^2}{(b - a)^2 - (2x - (a + b))^2}\right), & a < x < b \\ 0, & x \leq a, \quad x \geq b \end{cases}$$

Параметры (например):

$$X_{\min} = 0, \quad X_{\max} = 1.8, \quad c = 1.5$$

$$v_0 : \quad a = 0.6, \quad b = 1.2$$

$$v_1 = 0$$

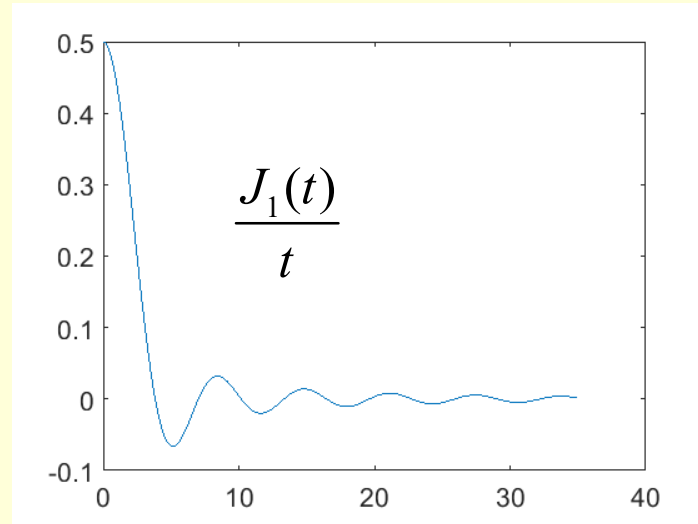
# ПГУ для одномерного уравнения Клейна-Гордона

Оператор ПГУ имеет вид

$$\mathcal{T}u \equiv \frac{1}{c} \frac{\partial u}{\partial t} + \frac{\partial u}{\partial x} + K_{\lambda,c}(t) * u = 0$$

$$K_{\lambda,c}(t) = c\lambda^2 \frac{J_1(c\lambda t)}{c\lambda t}$$

$$\frac{J_1(t)}{t} \approx \sum_{l=1}^L \alpha_l \exp(\beta_l t)$$



$$K_{\lambda,c}(t) \approx \tilde{K}(t) \equiv \sum_{l=1}^L \tilde{\alpha}_l \exp(\tilde{\beta}_l t); \quad \tilde{\alpha}_l = c\lambda^2 \alpha_l, \quad \tilde{\beta}_l = c\lambda \beta_l$$

Коэффициенты  $\{\alpha_l, \beta_l\}$  известны и находятся в отдельном файле

# ПГУ для одномерного уравнения Клейна-Гордона

Аппроксимация уравнения проводится по разностной схеме O22 с симметричным шаблоном типа «крест» на сетке

$$x_i = X_{\min} + (i - 0.5)h, \quad i = 0, 1, \dots, N; \quad h = \frac{X_{\max} - X_{\min}}{N - 1}$$
$$t_n = n\tau, \quad n = 0, 1, \dots, \quad \tau = C \frac{h}{c}, \quad C \leq 1$$

Начальные условия и граничное условие при  $x = X_{\min}$  аппроксимируются так же как и в Задании 1.

Аппроксимация ПГУ проводится способом, рассказанным в лекции, см. также следующий слайд



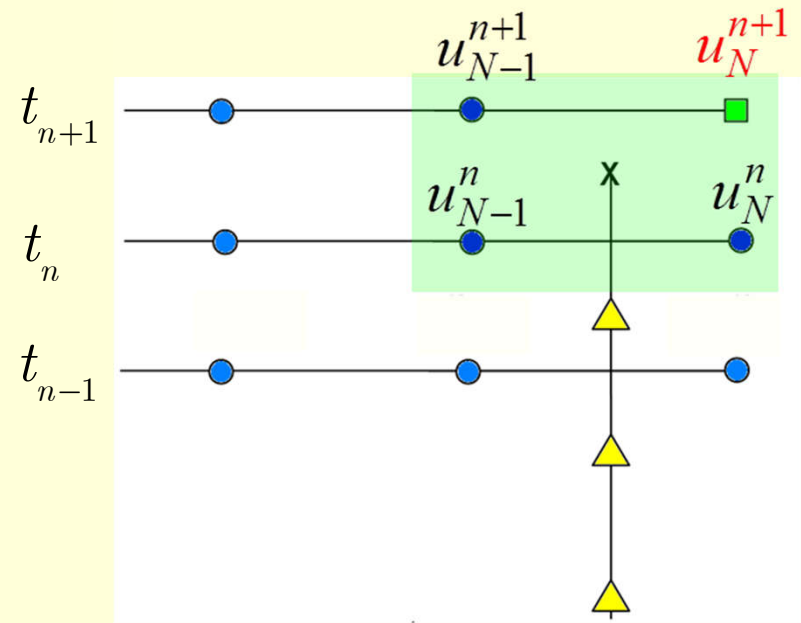
# Численная реализация ПГУ

$$\frac{1}{c} \frac{u_{N-1}^{n+1} + u_N^{n+1} - u_{N-1}^n - u_N^n}{2\tau} + \frac{u_N^n + u_N^{n+1} - u_{N-1}^n - u_{N-1}^{n+1}}{2h} + \tilde{K}(t) * \frac{u_N^n + u_{N-1}^{n+1}}{2} = 0$$

$$\mathbf{T}u \equiv \frac{1}{c} \frac{\partial u}{\partial t} + \frac{\partial u}{\partial x} - K_{\lambda,c}(t) * u = 0$$

Дискретизация свертки  $\tilde{K}(t) * u$

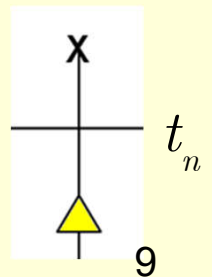
$$\tilde{K}(t) = \sum_{l=1}^L \tilde{\alpha}_l \exp(\tilde{\beta}_l t)$$



Для каждой экспоненты используем рекуррентную формулу

$$A(t_{n+0.5}) := \int_0^{t_{n+0.5}} e^{b(t-t')} u(t') dt' = e^{b\tau} A(t_{n-0.5}) + \int_{t_{n-0.5}}^{t_{n+0.5}} e^{b(t-t')} u(t') dt'$$

Вычисление интеграла реализуется по формуле парабол, т.е. по трем точкам  $t_n - 0.5\tau$ ,  $t_n$ ,  $t_n + 0.5\tau$  на интервале



Неотражающие граничные условия

# Численные эксперименты с ПГУ

- 1) Для проверки точности работы ПГУ рассмотрите одновременно две начально-краевые разностные задачи: на исходном отрезке и на расширенной области с  $X_{\max}^{ext} = 2X_{\max} - X_{\min}$ . Шаг сетки должен быть одинаковым для обеих задач.
- 2) Для разных моментов времени (например,  $t=0,1,2,3,\dots$ ) нарисуйте графики решений (на своем отрезке для каждой из задач) и разность решений этих задач (на общем отрезке). Нарисуйте график ошибки: норма разности решений на отрезке от времени.
- 3) Прodelайте эти эксперименты с параметром  $N-1 = 30,90,270$ , чтобы проверить второй порядок сеточной сходимости.
- 4) Изучите, как влияет выбор параметра  $L=17,33,65$  на точность (аппроксимация суммами экспонент). Для этого возьмите  $N-1 = 270$ ,  $\lambda = 3$  и нарисуйте три графика ошибки (п. 2) на одной картинке.
- 5) Изучите, как влияет выбор параметра  $\lambda = 0, 1, 3, 6$  на точность.

# Пояснение для вычисления интеграла свертки

В архиве kern.zip находятся файлы с различными наборами коэффициентов для ядра свертки, а также файл на Матлабе по проверке точности аппроксимации аналитического ядра.

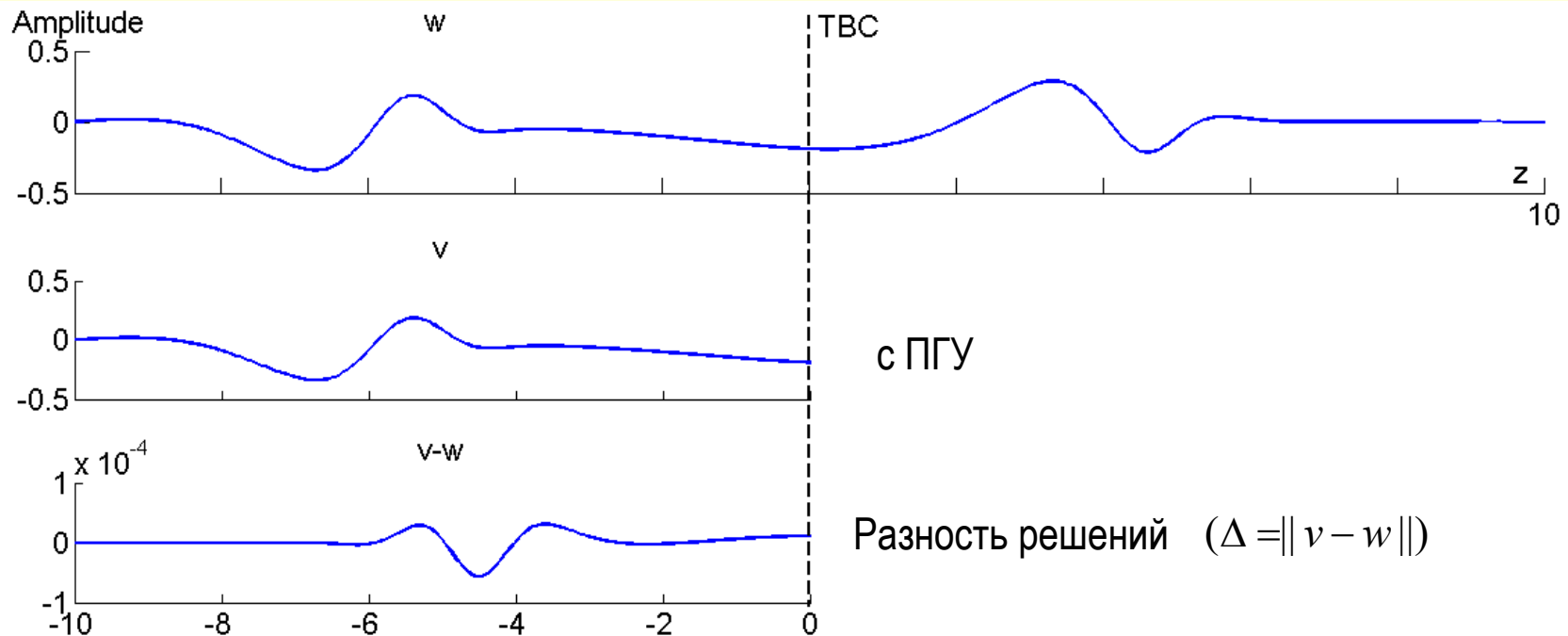
Нужно иметь в виду, что в ядре свертки все комплексные  $\alpha$  и  $\beta$  имеют свою сопряженную пару. Поэтому результат свертки с действительной функцией всегда действительный. Однако, в файлах коэффициентов приведен только один набор для каждой такой пары, т.е., в каждой строке содержится четверка действительных чисел - действительная и мнимая части для  $\alpha$  и для  $\beta$  (парная четверка получается сопряжением).

Поэтому, для вычисления свертки нужно просуммировать только по тем коэффициентам, что в файлах, а затем взять действительную часть от суммы. Эта продемонстрировано в примере с матлабовским скриптом по проверке точности.

## Советы

- 1) Лучше начать со случая  $\lambda = 0$ , чтобы проверить работу схемы без свертки
- 2) Отладочный процесс добавления свертки в граничные условия можно разбить на три этапа:
  - а) сначала считать ее непосредственно интегралом свертки с аналитическим ядром
  - б) затем заменить ядро в этом интеграле на сумму экспонент
  - в) наконец, реализовать этот интеграл рекуррентными формулами

# ПГУ высокого порядка аппроксимации для волнового уравнения (одна Фурье-гармоника)



Решение по разностной схеме 6-го порядка точности по пространству

$\tau$	$N$	$\Delta$	$EOC$	$\Delta$	$EOC$	$\Delta$	$EOC$
		$\lambda=1$	$\lambda=1$	$\lambda=3$	$\lambda=3$	$\lambda=6$	$\lambda=6$
1,00e-2	32	1,59e-4		2,02e-4		1,39e-3	
1,25e-3	64	2,81e-6	<b>5,8</b>	2,70e-6	<b>6,2</b>	2,04e-5	<b>6,1</b>
1,56e-4	128	4,56e-8	<b>5,9</b>	4,12e-8	<b>6,0</b>	3,66e-7	<b>5,8</b>
1,95e-5	256	7,1e-10	<b>6,0</b>	6,6e-10	<b>6,0</b>	3,46e-9	<b>6,7</b>

В этом примере использовалась сетка с целыми узлами, поэтому число узлов  $N$  удваивалось.

Estimated order of convergence

$$EOC = \log_2 \frac{\Delta_N}{\Delta_{2N}}$$

# Напоминание построения начальных условий

(см. Тема 2: 1.1 Разностные схемы для волнового уравнения)

Начальные условия

(здесь  $d = 1$ ,  $r \equiv x$ )

$$\text{Заданы } u(0, r) = v_0, \quad \frac{\partial u}{\partial t}(0, r) = v_1$$

для вычислений нужны  $u^0 \equiv u(0, r) = v_0$  и  $u^1 \equiv u(\tau, r) = ?$

$$u(\tau, r) = u(0, r) + \tau \frac{\partial u}{\partial t}(0, r) + \frac{\tau^2}{2} \frac{\partial^2 u}{\partial t^2}(0, r) + \frac{\tau^3}{6} \frac{\partial^3 u}{\partial t^3}(0, r) + \dots$$

$$\frac{\partial^2 u}{\partial t^2}(0, r) = c^2 \frac{1}{r^{d-1}} \frac{\partial}{\partial r} \left( r^{d-1} \frac{\partial v_0}{\partial r} \right) - f(0, r)$$

$$\frac{\partial^3 u}{\partial t^3}(0, r) = c^2 \frac{1}{r^{d-1}} \frac{\partial}{\partial r} \left( r^{d-1} \frac{\partial v_1}{\partial r} \right) - \frac{\partial f}{\partial t}(0, r)$$

Граничные условия Дирихле для  $x = X_{\min}$

$$u_0^n + u_1^n = 0, \quad n = 1, 2, \dots$$